

# บทที่ 4 ผลของฟลูอิไดเซชันอุณหภูมิสูงที่มีต่อสมบัติด้านเนื้อสัมผัส สมบัติด้านความหนืดและสมบัติด้านการยับยั้งและคุณค่าของ ข้าวเหนียวกล้องและข้าวเหนียวขาว



## 4.1 บทนำ

สมบัติด้านเนื้อสัมผัส ด้านความหนืดและด้านการยับยั้งและคุณค่าของข้าวเหนียวมีความสำคัญต่อการยอมรับของผู้บริโภค โดยเฉพาะกับผู้บริโภคที่ใส่ใจต่อสุขภาพที่ต้องการรับประทานข้าวเหนียวที่มีความนุ่มนวลและมีประโยชน์ต่อร่างกาย การเปลี่ยนแปลงสมบัติทางเคมีภายในเมล็ดข้าวเหนียวเนื่องจากกระบวนการให้ความร้อนที่อุณหภูมิสูงมีผลโดยตรงต่อสมบัติต่างๆ เหล่านี้ จากรายงานของ Anderson and Guraya (2006) กล่าวว่าการอบแห้งด้วยไนโตรเจนฟิล์มเพลทต์ต่อโครงสร้างทางกายภาพของสารซึ่งข้าวเหนียวเพียงเล็กน้อย แต่สมบัติด้านความหนืดเปลี่ยนแปลงอย่างมีนัยสำคัญ การใช้รังสีแกมมาที่มีโดส (Dose) อยู่ในช่วง 0.5-2 kGy ทำให้สมบัติด้านความหนืด เช่น ความหนืดสูงสุดและ Setback มีค่าลดลง (Sung et al., 2008) นอกจากนี้สมบัติด้านเนื้อสัมผัสได้แก่ Firmness และความเหนียวของข้าวใหม่หลังผ่านการอบแห้งด้วยฟลูอิไดเซชันอุณหภูมิสูงเมื่อนำมาผ่านการหุงต้มแล้วมีค่าน้อยลงซึ่งคล้ายข้าวเก่า (Soponronnarit et al., 2008)

แม้ว่าข้าวเหนียวกล้องมีคุณค่าทางโภชนาการมากกว่าข้าวเหนียวขาว เพราะประกอบด้วยรำซี่อุดมไปด้วยเส้นใยอาหาร แร่ธาตุ และวิตามินต่างๆ สามารถลดความเสี่ยงต่อโรคหนึ่งชา โรคอ้วน มะเร็ง และโรคหัวใจและหลอดเลือด ผู้ที่บริโภคข้าวกล้องเป็นประจำทำให้มีสุขภาพดี แต่เนื่องจากเนื้อสัมผัสของข้าวเหนียวกล้องค่อนข้างแข็ง จึงยังมีผู้บริโภคซึ่งเป็นส่วนใหญ่ที่ยังนิยมรับประทานข้าวเหนียวขาวเนื่องจากสะอาด เนื้อสัมผัสมีความนุ่มนวลเหมือน หุงต้มง่าย การทำให้เนื้อสัมผัสของข้าวเหนียวกล้องนุ่มนวลได้จึงมีความน่าสนใจ และจากการวิจัยการอบแห้งข้าวเหนียวขาวที่อุณหภูมิสูงที่ผ่านมา พบว่า ข้าวเหนียวขาวสุกมีความแข็งลดลงและมีความเหนียวเพิ่มขึ้นเมื่ออบแห้งที่อุณหภูมิสูงขึ้น

จากรายงานวิจัยที่ศึกษาการเปลี่ยนแปลงของปริมาณโปรตีนและไขมันต่อสมบัติด้านความหนืดและสมบัติทางความร้อนของข้าวมีดังนี้ Likitwattanasade and Hongprabhas (2010) ทำการศึกษาผลของปริมาณโปรตีนที่มีต่อสมบัติด้านความหนืดของแป้งข้าว โดยการกำจัดโปรตีนออกไป 60% จากข้าว 3 พันธุ์ ได้แก่ ข้าวเหนียวพันธุ์สันป่าตอง 1 (ปริมาณอะมิโนໂດส 1.3% และปริมาณโปรตีน 8.3%) ข้าวเจ้า

พันธุ์ปุทุมธานี 1 (ปริมาณอะมิโลส 14.1% และปริมาณโปรตีน 6.7%) และ ข้าวพันธุ์เหลืองประทิว 123 (ปริมาณอะมิโลส 28.6% และปริมาณโปรตีน 9.6%) พบว่า ข้าวที่มีปริมาณโปรตีนมากกว่าทำให้อุณหภูมireิ่มเกิดความหนืดของแป้งข้าว (Pasting temperature) มีค่าเพิ่มขึ้น เวลาที่ใช้เปลี่ยนจากแป้งปกติเป็นแป้งหนึด (Peak time) เพิ่มขึ้นแต่ความหนืดสูงสุด (Peak viscosity) ของแป้งข้าวทุกพันธุ์มีค่าลดลงเมื่อเทียบกับความหนืดสูงสุดของข้าวที่มีปริมาณโปรตีนต่ำกว่า ข้าวที่มีปริมาณโปรตีนที่น้อยกว่าทำให้เวลาที่ใช้ในการหุงต้มข้าวมีค่าน้อยลงตามไปด้วย (Likitwattanasade and Hongprabhas, 2010) นอกจากนี้ Zhu et al. (2010) ทำการศึกษาปริมาณโปรตีนที่แตกต่างกันในแป้ง (Flour) และสตาร์ช (Starch) ในข้าวเหนียวขาว 3 พันธุ์ได้แก่ พันธุ์ Yangfu-nuo (สายพันธุ์อินดิการ์มีปริมาณโปรตีนในแป้ง =  $10.66 \pm 0.03\%$  และปริมาณโปรตีนในสตาร์ช =  $0.38 \pm 0.00\%$ ) พันธุ์ Guang-ling-xiang-nuo (สายพันธุ์จ้าปอนกามีปริมาณโปรตีนในแป้ง =  $9.83 \pm 0.01\%$  และปริมาณโปรตีนในสตาร์ช =  $0.32 \pm 0.01\%$ ) และพันธุ์ Su-yu-nuo (สายพันธุ์จ้าปอนกามีปริมาณโปรตีนในแป้ง =  $10.55 \pm 0.03\%$  และปริมาณโปรตีนในสตาร์ช =  $0.07 \pm 0.00\%$ ) พบว่า ปริมาณโปรตีนที่มีอยู่เป็นจำนวนน้อยในสตาร์ชของข้าวเหนียวทั้ง 3 พันธุ์ ทำให้อุณหภูมireิ่มต้น ( $T_s$ ) อุณหภูมิสูงสุด ( $T_p$ ) และอุณหภูมิสุดท้ายของการเกิดเจลาทีไนเซชัน ( $T_c$ ) มีค่าน้อยกว่า  $T_s$ ,  $T_p$ ,  $T_c$  ของแป้งแต่เด่นทางไป ( $\Delta H$ ) ของสตาร์ชมีค่ามากกว่าค่า  $\Delta H$  ของแป้ง

สำหรับผลของการเปลี่ยนแปลงปริมาณไขบันในข้าวมีผู้ศึกษาน้อยมาก โดย Kar et al. (2005) พบว่า การดึงไขบันออกจากผิวของเม็ดแป้งทำให้  $T_s$ ,  $T_p$ ,  $T_c$  ไม่เปลี่ยนแปลง และการดึงไขบันออกทั้งหมดส่งผลให้สตาร์ชมีการพองตัวเพิ่มขึ้นเล็กน้อย

สมบัติด้านการย่อยและคุณค่าของข้าวเป็นอีกสมบัติหนึ่งที่มีความสำคัญต่อร่างกายของมนุษย์หลังจากบริโภคข้าวซึ่งเป็นอาหารประเภทคาร์โบไฮเดรตเข้าไป โดยดัชนีที่ตรวจวัดคุณภาพของอาหารประเภทคาร์โบไฮเดรตได้แก่ ค่าดัชนีไกลีซีมิก (Glycemic Index: GI) ซึ่งเป็นดัชนีที่ตรวจวัดคุณภาพของอาหารประเภทคาร์โบไฮเดรตว่าหลังจากการรับประทานอาหารประเภทคาร์โบไฮเดรตและเข้าสู่ระบบการย่อยและคุณค่าของร่างกายแล้วสามารถเพิ่มระดับน้ำตาลในเลือดได้มากหรือน้อยเพียงใดในเวลา 2-3 h โดยเทียบกับสารมาตรฐานได้แก่น้ำตาลก๊อโคสหรือขั้นปั้งขาวซึ่งมีค่า GI เท่ากับ 100 สำหรับข้าวเหนียวมีค่า GI สูงกว่าข้าวที่มีปริมาณอะมิโลสสูง (Frei et al., 2003; Hu et al., 2004) Anderson and Guraya (2006) พบว่า การอบแห้งด้วยไมโครเวฟไม่มีผลต่อสมบัติด้านการย่อยและคุณค่าของสตาร์ชข้าวเหนียว Chung et al. (2006) รายงานว่าสตาร์ชข้าวเหนียวที่เกิดเจลาทีไนเซชันบางส่วนโดยการให้ความร้อนที่อุณหภูมิ 60, 65 และ 70 °C เป็นเวลา 5 min มีผลทำให้การย่อยและคุณค่าสตาร์ชเป็นไปอย่างรวดเร็วเนื่องจากสตาร์ชถูกทำให้แตกออก ส่งผลให้ดัชนีไกลีซีมิกมีค่าสูงกว่าสตาร์ชอ้างอิง และค่าดัชนีไกลีซีมิกมีค่าสูงขึ้นเมื่อให้ความร้อนที่อุณหภูมิสูงขึ้น

จากการวิจัยที่ผ่านมา พบร่วมกับงานวิจัยเกี่ยวกับผลของความร้อนที่มีต่อการเปลี่ยนแปลงปริมาณโปรตีน และไขมันส่างผลต่อสมบัติค้านเนื้อสัมผัส สมบัติค้านความแห้ง และสมบัติค้านการย่อยและคุณค่าในข้าวเหนียวเมืองยู่ง่าย่างจำพวกดังนี้ วัตถุประสงค์ของงานวิจัยนี้เพื่อศึกษาผลของอุณหภูมิอ่อนแห้งด้วยเครื่องอบแห้งแบบฟลูอิไดซ์เบดที่มีต่อคุณภาพของข้าวเหนียวกล้องและข้าวเหนียวขาวในค้าน สมบัติทางความร้อน สมบัติค้านสภาพเป็นผลึก โครงสร้างระดับจุลภาค สมบัติค้านการหุงต้ม สมบัติค้านความแห้ง สมบัติค้านเนื้อสัมผัส สมบัติค้านการย่อยและคุณค่ารวมทั้งการทดสอบการยอมรับของผู้บริโภค

## 4.2 อุปกรณ์และวิธีการทดลอง

ส่วนประกอบของเครื่องอบแห้งแบบฟลูอิไดซ์เบดด้วยอากาศร้อนอธินายไว้ในหัวข้อที่ 3.2.1

### 4.2.1 การเตรียมตัวอย่าง

ข้าวเปลือกเหนียวจำนวน 1.9 kg มีความชื้นเริ่มน้ำ 28% (d.b.) นำมาอบด้วยเครื่องอบแห้งแบบฟลูอิไดซ์เบดที่อุณหภูมิอ่อนแห้งระหว่าง 90-150 °C ความสูงเบด 9.5 cm และความเร็วลมที่ใช้ 2.5 m/s จนกระทั่งความชื้นลดลงเหลือประมาณ 23% (d.b.) จากนั้นนำไปเก็บในที่อันอากาศเป็นเวลา 30 min ตามด้วยการเป่าด้วยอากาศแ Welch ลดความชื้นลดลงเหลือ  $16 \pm 0.5\%$  (d.b.) (ประมาณ 30-40 min) หลังจากนั้นนำตัวอย่างไปเก็บที่อุณหภูมิ 4-6 °C เพื่อรักษาความชื้นต่อไป

ก่อนทดสอบคุณภาพ ตัวอย่างข้าวเปลือกเหนียวจากการอบแห้งที่อุณหภูมิต่างๆ นำมาสะเทาเปลือกด้วยเครื่องสะเทา (Satake, model no. THU-35, Hiroshima, Japan) ทำให้ได้ข้าวเหนียวกล้อง จากนั้นนำตัวอย่างข้าวเหนียวกล้องไปขัดรำออกด้วยเครื่องขัดขาว (Satake, model no. TM05, Hiroshima, Japan) ทำให้ได้ข้าวเหนียวขาว คัดเอากะพะตัวอย่างข้าวเหนียวกล้องและข้าวเหนียวขาวเต็มเมล็ดโดยใช้เครื่องคัดขนาด (Satake, model no. TRG-05A, Hiroshima, Japan) สำหรับการทดสอบคุณภาพค้านต่างๆ ต่อไป

### 4.2.2 การทดสอบคุณภาพข้าวเหนียวหลังการอบแห้ง

คุณภาพของข้าวเหนียวที่ทำการทดสอบได้แก่ สมบัติทางความร้อน สมบัติค้านสภาพเป็นผลึก สมบัติค้านเนื้อสัมผัส สมบัติค้านความแห้ง สมบัติค้านการย่อย รายละเอียดวิธีการทดสอบอยู่ในบทที่ 3

#### 4.2.3 การหาปริมาณโปรตีนของแป้งข้าวเหนียว (AOAC, 1995)

การหาปริมาณโปรตีนของแป้งข้าวเหนียวขาวและแป้งข้าวเหนียวขาวล้างใช้วิธี Kjeldahl method มีขั้นตอนดังนี้ ซึ่งตัวอย่างแป้งข้าวเหนียวจำนวน 1 g ใส่ในหลอดดองย่อย (Digestion flask) เติมตัวเร่งปฏิกิริยา (ประกอบด้วย  $K_2SO_4$  98% และ  $CuSO_4$  2%) ประมาณ 1 g เติมกรดซัลฟูริกเข้มข้นลงไปประมาณ 20 mL จากนั้นนำหลอดดองลงไปใส่ในเครื่องย่อยโปรตีน รวมเครื่องดักจับไอกรดลงบนตัวบนของหลอดดอง และเปิด Power ของเครื่องดักจับไอกรดโดยทำการย่อยในตู้ดูดควันจากนั้นเปิดเครื่องย่อยโปรตีนเมื่ออุณหภูมิภายในหลอดย่อยมีค่าประมาณ  $420^{\circ}\text{C}$  ทำการย่อยถลายตัวอย่างแป้งข้าวจนกระทั้งสารละลายใส แล้วย่อถลายต่ออีก 30-45 min เพื่อให้การย่อยถลายเป็นไปอย่างสมบูรณ์ จากนั้นยกหลอดดองออกดึงทิ้งไว้ให้เย็น ตัวสารละลายอ่อนตัวของกรดบอริก (ความเข้มข้น 4%) จำนวน 25 mL ใส่ใน Flask จากนั้นนำไปตั้งไว้ในตำแหน่งของมันที่เครื่องกลั่นเลื่อนฐานขึ้น โดยให้ปลายแท่งแก้วจุ่มอยู่ใต้สารละลาย ใส่หลอดย่อยที่เตรียมไว้ในเครื่องกลั่น เลื่อนหน้าต่างป้องกันลงมา เปิดเครื่องกลั่นโดยโยกคันโยกค้าง (แอนโนเนนีย) ลงมา เปิด Steam โดยเลื่อนคันโยกของ Steam ไปตำแหน่งเปิด ตั้งเวลาที่ใช้ในการกลั่น ประมาณ 1 min เมื่อกลั่นเสร็จแล้วเลื่อนคันโยก Steam ไปที่ตำแหน่งปิด เลื่อนหน้าต่างป้องกันขึ้น ถอดหลอดดองออก และนำ Flask มาใส่เตอร์ทด้วยสารละลายมาตรฐานกรดซัลฟูริก 0.1 N จนได้สารละลายสีเทาจึงหยุด ปริมาณโปรตีนในตัวอย่างแป้งข้าวเหนียวคำนวณได้ดังนี้

$$\text{Nitrogen content (\%)} = \frac{14 \times (v_1 - v_2) \times \text{Normality of HCl (mol/L)} \times 100}{\text{Weight of Sample (g)} \times 1000} \quad (4.1)$$

เมื่อ  $v_1$  = ปริมาตรของกรดไฮโดรคลอริกที่ใส่เตอร์ทตัวอย่าง  
 $v_2$  = ปริมาตรของกรดไฮโดรคลอริกที่ใส่เตอร์ท blank

$$\text{ปริมาณโปรตีน} = \text{ร้อยละในต่อเจน} \times \text{Empirical factor} \quad (4.2)$$

โดย Empirical factor ของข้าว = 6.25

แต่ละตัวอย่างทำการทดลองซ้ำ 3 ครั้งและนำค่าเฉลี่ยมาแสดงผล

#### 4.2.4 การหาปริมาณไขมันทั้งหมดของแป้งข้าวเหนียวโดยใช้ Soxtec (AOAC, 1995)

การหาปริมาณไขมันทั้งหมดของแป้งข้าวเหนียวขาวและแป้งข้าวเหนียวกล้องมีขั้นตอนดังนี้ ซึ่งตัวอย่างแป้งข้าวเหนียวประมาณ 3 g ( $W$ ) บนกระดาษกรองห่อให้มิดชิดนำไปใส่ใน Thimbles แล้วนำ Thimbles ไปติดตั้งกับชุด Soxtec system HT โดยใช้ Adapter รวมน้ำ Extraction cups ไปอบที่อุณหภูมิ 100 °C เป็นเวลา 30 min ทิ้งไว้ให้เย็นเป็นเวลา 30 min ในโถดูดความชื้น นำมาซึ่งน้ำหนัก ( $W_1$ ) เติมบีโตรเลียมอีเทอร์ ปริมาตร 50 mL ลงใน Extraction cups แล้วนำไปติดตั้งกับชุด Soxtec system HT เลื่อนคันโยกไปที่ตำแหน่ง Boiling และสกัดเป็นเวลา 15-20 min จากนั้นเลื่อนคันโยกไปที่ตำแหน่ง Rinsing ทำการ Rinsing เป็นเวลา 30-45 min ระหว่างนี้ให้ติดตั้ง Extraction cups ไปอบที่ 100 °C ประมาณ 30 min ทิ้งไว้เย็นในโถดูดความชื้น จึงนำมาซึ่งน้ำหนัก ( $W_2$ )

$$\text{Lipid content (\%)} = \frac{W_2 - W_1}{W} \times 100 \quad (4.3)$$

เมื่อ  $W$  = น้ำหนักตัวอย่าง (g)

$W_1$  = น้ำหนักของ Round bottom flask (g)

$W_2$  = น้ำหนักของ Round bottom flask และตัวอย่าง (g)

แต่ละตัวอย่างทำการทดลองซ้ำ 2 ช้ำ และนำค่าเฉลี่ยมาแสดงผล

#### 4.2.5 การหาปริมาณการดูดซับน้ำของข้าวเหนียวกล้องและข้าวเหนียวขาว

วิธีการทดสอบการดูดซับน้ำ (Water uptake) ของตัวอย่างข้าวเหนียวกล้องและข้าวเหนียวขาว มีดังนี้ นำตัวอย่างข้าวเหนียวกล้องและข้าวเหนียวขาวจำนวน 20 g แช่ในน้ำกลัน 100 mL ที่อุณหภูมิห้อง เวลาของการแช่น้ำคือ 1, 2, 3, 5 และ 16 h จากนั้นรินน้ำออกและซึ่งน้ำหนักข้าวเหนียวหลังการแช่น้ำ เปอร์เซ็นต์การดูดซับน้ำของตัวอย่างข้าวเหนียวทั้งสองทางได้จากผลต่างของน้ำหนักข้าวเหนียวหลัง และก่อนการแช่น้ำหาร้น้ำหนักข้าวเหนียวก่อนแช่น้ำคูณด้วย 100 (Bean et al., 1984) แต่ละตัวอย่างทำการทดลอง 2 ช้ำ และนำค่าเฉลี่ยมาแสดงผล

#### 4.2.6 การหาปริมาณของแข็งที่ละลายในน้ำของข้าวเหนียวกล้องและข้าวเหนียวขาว

วิธีการทดสอบหาปริมาณของแข็งที่ละลายในน้ำ (Solid loss) ของข้าวเหนียวกล้องและข้าวเหนียวขาว ทำได้โดยนำน้ำที่ใช้แช่ตัวอย่างข้าวเหนียว (80 g) ที่เวลาต่างๆ ข้างต้น ใส่ในหลอดทดลองแล้วทำการระเหยที่อุณหภูมิ 105 °C เป็นเวลา 24 h จากนั้นนำตัวอย่างมาทิ้งไว้ในโถดุดความชื้นนาน 45 min ซึ่งน้ำหนักอิกกรัม ปริมาณของแข็งที่ละลายในน้ำของข้าวเหนียวกล้องและข้าวเหนียวขาวสามารถคำนวณได้ดังสมการที่ 4.4

$$\text{Solid loss (\%)} = \frac{\text{Increased mass of Erlenmeyer flask}}{\text{Mass of waxy rice sample}} \times 100 \quad (4.4)$$

แต่ละตัวอย่างทำการทดลองซ้ำ 2 ครั้งและนำค่าเฉลี่ยมาแสดงผล

#### 4.2.7 วิธีการหุงต้มข้าวเหนียวกล้องและข้าวเหนียวขาว

วิธีการหุงต้มข้าวเหนียวกล้องและข้าวเหนียวขาวใช้วิธีการให้ความร้อนโดยใช้ไอน้ำ โดยก่อนทำการหุงต้ม ตัวอย่างข้าวเหนียวกล้องและข้าวเหนียวขาวถูกนำมาแช่น้ำกลั่นเป็นเวลา 1, 3 และ 5 h ซึ่งเวลาเหล่านี้เป็นเวลาที่ข้าวเหนียวคุณภาพน้ำเงี้ยวอิ่มตัวและมีปริมาณน้ำเพียงพอต่อการทำให้สุก เมื่อครบตามเวลาที่กำหนดแล้ว รินน้ำออก จากนั้นนำตัวอย่างข้าวเหนียวกล้องและข้าวเหนียวขาวที่ผ่านการแช่น้ำแล้ววางบนหม้อน้ำไอน้ำ (Perforated steamer) เวลาที่ใช้ในการหุงต้มสำหรับข้าวเหนียวขาวและข้าวเหนียวกล้องคือ 30 และ 80 min ตามลำดับ จากนั้นทิ้งไว้ให้เย็นที่อุณหภูมิห้องประมาณ 10 min (Juliano, 1985) ก่อนนำไปทดสอบสมบัติด้านเนื้อสัมผัสและการทดสอบด้านประสานสัมผัสด่อไป

#### 4.2.8 การทดสอบด้านประสานสัมผัสของข้าวเหนียวกล้องสุกและข้าวเหนียวขาวสุก

การทดสอบด้านประสานสัมผัสของข้าวเหนียวกล้องสุกและข้าวเหนียวขาวสุกมีวิธีทดสอบดังต่อไปนี้ ตัวอย่างข้าวเหนียวกล้องสุกและข้าวเหนียวขาวสุกตัวอย่างละ 300 g หลังจากหุงสุกใหม่ๆ เก็บไว้ในภาชนะที่มีจำนวนหุ่มเป็นเวลา 10 min ก่อนเริ่มทำการทดสอบ คุณภาพที่ทำการทดสอบได้แก่ ความขาว (Whiteness) ความเกาะตัว (Cohesiveness) รสชาติ (Taste) ความนุ่ม (Tenderness) ความเหนียว (Stickiness) และความชอบโดยรวม (Overall acceptability) จากผู้เชี่ยวชาญที่ได้รับการฝึกฝนเป็นอย่างดีของสถาบันค้นคว้าและพัฒนาผลิตภัณฑ์อาหาร มหาวิทยาลัยเกษตรศาสตร์ จำนวน 15 คน ทำแบบทดสอบวัดสเกลความชอบ (Hedonic scale) ซึ่งมี 9 ระดับดังนี้

1 = ไม่ชอบที่สุด, 2 = ไม่ชอบมาก, 3 = ไม่ชอบปานกลาง, 4 = ไม่ชอบเล็กน้อย, 5 = เนยๆ, 6 = ชอบเล็กน้อย, 7 = ชอบปานกลาง, 8 = ชอบมาก, และ 9 = ชอบมากที่สุด

#### 4.2.9 การหารูพรุนในเมล็ดข้าวเหนียวจากภาพ SEM โดยใช้โปรแกรม Image J

การวัดขนาดรูพรุนของเมล็ดข้าวเหนียวอ้างอิงและเมล็ดข้าวเหนียวที่ผ่านการอบแห้งจากภาพ SEM ใช้โปรแกรม Image J (version 1.37c, National Institutes of Health, Bethesda, MD) ในการวิเคราะห์ ซึ่งเป็นโปรแกรมที่ใช้สำหรับคำนวณขนาดเส้นผ่านศูนย์กลางและพื้นที่ของรูพรุนในเมล็ดข้าวเหนียว โดยมีหลักการดังนี้ ภาพ SEM เป็นภาพสีเทาและมีหน่วยวัดข้อมูลขนาด 8 bit ระดับความเข้มของสีเทา มีค่าระหว่าง 0-255 จากนั้นภาพ SEM ถูกแปลงเป็นภาพขาวดำ (Binary images) ในโปรแกรม Image J และมีการปรับ Threshold เพื่อแบ่งพื้นที่ที่เป็นของแข็งและรูพรุน โดย Threshold ที่ปรับนิ่งอยู่ระหว่าง 30-50 ขึ้นอยู่กับมิติของแต่ละภาพ และกำหนดว่าสีดำ คือค่าที่ต่ำกว่าค่า Threshold ที่ตั้งไว้ และเป็นพื้นที่ของรูพรุน ส่วนสีขาวคือ ค่าที่มากกว่า Threshold ที่กำหนดและเป็นพื้นที่ของของแข็งขนาดเส้นผ่านศูนย์กลางของรูพรุนคำนวณจากพื้นที่วงกลมที่เป็นสีดำ

#### 4.2.10 การวิเคราะห์ทางสถิติ

รายละเอียดการวิเคราะห์ทางสถิติได้กล่าวไว้ในบทที่ 3

### 4.3 ผลการทดลองและวิจารณ์

#### 4.3.1 องค์ประกอบของโปรตีนและไขมันของแป้งข้าวเหนียวกล้องอ้างอิง

ตารางที่ 4.1 แสดงองค์ประกอบของโปรตีนและไขมันของแป้งข้าวเหนียวกล้องอ้างอิง แป้งข้าวเหนียว ขาวอ้างอิง และแป้งข้าวเหนียวกล้องอ้างอิงที่อุณหภูมิอบแห้งต่างๆ พนว่า ปริมาณโปรตีนและไขมันของตัวอย่างแป้งข้าวเหนียวกล้องอ้างอิงมีค่ามากกว่าปริมาณโปรตีนและไขมันของแป้งข้าวเหนียวขาว อ้างอิง เมื่อนำข้าวเหนียวกล้องมาอบแห้งที่อุณหภูมิ 90-150 °C พนว่าปริมาณโปรตีนและไขมันของตัวอย่างแป้งทั้งหมดไม่แตกต่างจากปริมาณโปรตีนและไขมันของตัวอย่างแป้งข้าวเหนียวกล้องอ้างอิง

ตารางที่ 4.1 องค์ประกอบของโปรตีนและไขมันของแป้งข้าวเหนียวกล้องอ้างอิง แป้งข้าวเหนียวขาว อ้างอิง และแป้งข้าวเหนียวกล้องที่อุณหภูมิอบแห้งต่างๆ

Processing condition	Protein content (%)	Lipid content (%)
Reference white waxy rice	7.34 ± 0.02 <sup>a</sup>	0.57 ± 0.02 <sup>a</sup>
Reference brown waxy rice	7.41 ± 0.03 <sup>b</sup>	2.44 ± 0.09 <sup>b</sup>
90 °C	7.42 ± 0.01 <sup>b</sup>	2.61 ± 0.15 <sup>b</sup>
130 °C	7.45 ± 0.05 <sup>b</sup>	2.56 ± 0.00 <sup>b</sup>
150 °C	7.44 ± 0.05 <sup>b</sup>	2.69 ± 0.01 <sup>b</sup>

Different superscripts in the same column mean that the values are significantly different ( $p<0.05$ )

#### 4.3.2 สมบัติทางความร้อนของแป้งข้าวเหนียวกล้องและแป้งข้าวเหนียวขาว

สมบัติทางความร้อนของแป้งข้าวเหนียวกล้องและแป้งข้าวเหนียวขาวได้แก่ อุณหภูมิtranซิชัน (Transition temperature) คือ อุณหภูมิเริ่มต้น ( $T_g$ ) อุณหภูมิสูงสุด ( $T_p$ ) และอุณหภูมิสุดท้าย ( $T_c$ ) ของการเกิดเจลาทีไนเซชัน เอนทาลปี ( $\Delta H$ ) และระดับการเกิดเจลาทีไนเซชัน (DG) แสดงดังตารางที่ 4.2 จากผลการทดลอง พบว่า ตัวอย่างแป้งข้าวเหนียวกล้องอ้างอิงมีอุณหภูมิการเกิดเจลาทีไนเซชันทั้ง 3 ค่า ( $T_g$ ,  $T_p$ ,  $T_c$ ) สูงกว่าตัวอย่างแป้งข้าวเหนียวขาวอ้างอิงแต่เอนทาลปีมีค่าต่ำกว่า สาเหตุที่เป็นเช่นนี้ เป็นผลจากการที่องค์ประกอบของโปรตีนและไขมันในข้าวเหนียวกล้องอ้างอิงมีค่ามากกว่าข้าวเหนียวขาว อ้างอิง (ดังตารางที่ 4.1) ขัดขวางการพองตัวของเม็ดแป้งจึงทำให้อุณหภูมิtranซิชันเพิ่มขึ้น จากรายงานของ Zhu, et al. (2010) พบว่า สัดส่วนของโปรตีนในแป้งข้าวเหนียวมีผลต่อการเปลี่ยนแปลง อุณหภูมิtranซิชันและเอนทาลปีของตัวอย่างแป้งข้าวเหนียว โดยอุณหภูมิtranซิชันมีค่าเพิ่มขึ้นเมื่อ ปริมาณโปรตีนสูงขึ้น ในขณะที่เอนทาลปีมีค่าลดลง

ตารางที่ 4.2 สมบัติทางความร้อนของแป้งข้าวเหนียวกล้องและแป้งข้าวเหนียวขาวที่อุณหภูมิอบแห้ง ต่างๆ

Processing condition	Transition temperature (°C)			$\Delta H^B$ (J/g)	DG <sup>C</sup> (%)
	$T_o^A$	$T_p^A$	$T_c^A$		
<b>White waxy rice</b>					
Reference	61.1 ± 0.00 <sup>a</sup>	68.5 ± 0.00 <sup>a</sup>	76.8 ± 0.05 <sup>a</sup>	6.8	0
90 °C	62.0 ± 0.00 <sup>c</sup>	70.0 ± 0.05 <sup>d</sup>	78.4 ± 0.05 <sup>c</sup>	6.5	4.8
110 °C	62.3 ± 0.00 <sup>d</sup>	69.7 ± 0.00 <sup>c</sup>	78.2 ± 0.05 <sup>b</sup>	5.4	20.8
130 °C	61.9 ± 0.05 <sup>b</sup>	69.5 ± 0.05 <sup>b</sup>	78.4 ± 0.00 <sup>c</sup>	5.0	26.4
150 °C	62.9 ± 0.00 <sup>e</sup>	70.9 ± 0.00 <sup>e</sup>	79.2 ± 0.05 <sup>d</sup>	4.4	35.4
<b>Brown waxy rice</b>					
Reference	65.2 ± 0.07 <sup>a</sup>	71.1 ± 0.00 <sup>a</sup>	75.8 ± 0.05 <sup>a</sup>	4.8	0
90 °C	67.0 ± 0.01 <sup>b</sup>	72.3 ± 0.02 <sup>b</sup>	76.5 ± 0.00 <sup>b</sup>	4.5	6.2
110 °C	67.0 ± 0.00 <sup>b</sup>	72.4 ± 0.01 <sup>c</sup>	76.7 ± 0.02 <sup>c</sup>	3.4	29.2
130 °C	67.3 ± 0.02 <sup>c</sup>	73.1 ± 0.01 <sup>d</sup>	76.8 ± 0.02 <sup>d</sup>	2.9	39.6
150 °C	67.4 ± 0.01 <sup>d</sup>	73.9 ± 0.01 <sup>e</sup>	76.9 ± 0.01 <sup>e</sup>	2.7	43.8

<sup>A</sup>  $T_o$ ,  $T_p$ ,  $T_c$  = The temperature of onset, peak, and conclusion of gelatinization, respectively,

<sup>B</sup>  $\Delta H$  = Enthalpy of gelatinization, <sup>C</sup> DG = Degree of gelatinization

Different superscripts in the same column mean that the values are significantly different ( $p<0.05$ )

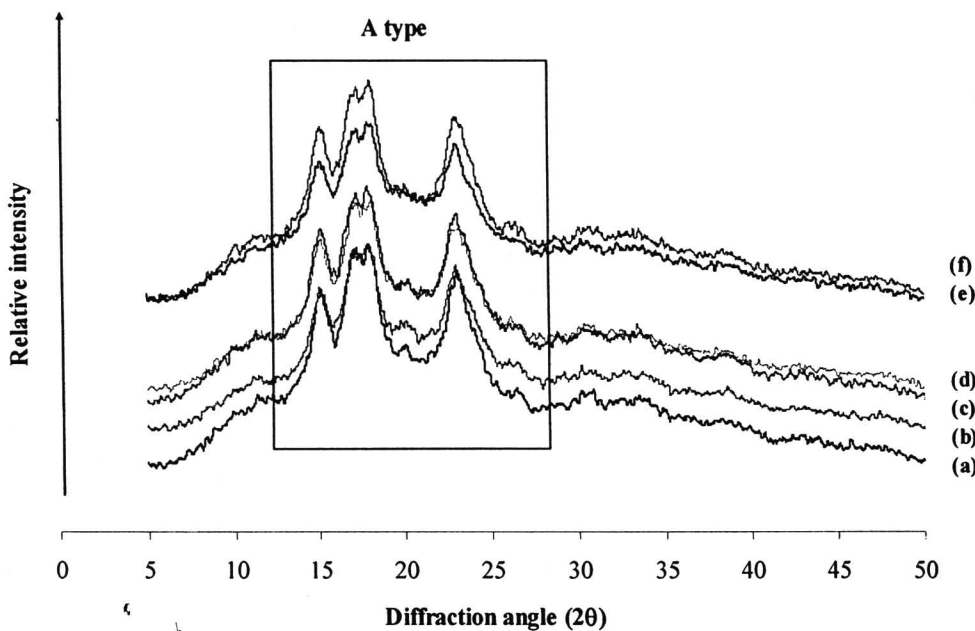
เมื่ออบแห้งข้าวเหนียวที่อุณหภูมิ 90-150 °C อุณหภูมิทราบชิ้นทั้ง 3 ค่า ( $T_o$ ,  $T_p$ ,  $T_c$ ) ของตัวอย่างแป้งข้าวเหนียวกล้องและแป้งข้าวเหนียวขาวที่ผ่านการอบแห้งมีค่ามากกว่าอุณหภูมิทราบชิ้นของตัวอย่างแป้งข้าวเหนียวกล้องและแป้งข้าวเหนียวขาวที่ผ่านการอบแห้งนี้ค่าต่ำลงกว่าตัวอย่างแป้งข้าวเหนียวกล้องและแป้งข้าวเหนียวขาวอ้างอิง เมื่ออุณหภูมิอบแห้งสูงขึ้น เอนกประสงค์ของตัวอย่างแป้งข้าวเหนียวกล้องและแป้งข้าวเหนียวขาวมีค่าลดลงตามลำดับ โดยตัวอย่างแป้งข้าวเหนียวกล้องและแป้งข้าวเหนียวขาวที่ผ่านการอบแห้งที่อุณหภูมิ 150 °C มีค่าเอนกประสงค์ที่สุดคือ 2.7 J/g และ 4.4 J/g ตามลำดับ เมื่อนำมาคำนวณระดับการเกิดเจลาทีไนเซชันโดยเทียบกับตัวอย่างแป้งข้าวเหนียวกล้องและแป้งข้าวเหนียวขาวอ้างอิงพบว่า ระดับการเกิดเจลาทีไนเซชันของตัวอย่างข้าวเหนียวกล้องและข้าวเหนียวขาวที่อุณหภูมิอบแห้ง 150 °C มีค่าสูงสุด ระดับการเกิดเจลาทีไนเซชันของข้าวเหนียวกล้องและข้าวเหนียวขาวที่อุณหภูมิดังกล่าวคือ 35.4% และ 43.8% ตามลำดับ

การเพิ่มขึ้นของอุณหภูมิทราบชิ้น และการลดลงของอ่อนทางปีของตัวอย่างเป็นข้าวเหนียวที่ผ่านการอบแห้งนั้น เกิดจากโครงสร้างภายในชิ้นผลึกบางส่วนถูกทำลายด้วยความร้อนจากอุณหภูมิอบแห้งที่สูงกว่าอุณหภูมิเป็นสูก เมื่อนำตัวอย่างเป็นข้าวเหนียวที่ผ่านการอบแห้งมาทดสอบบดทั้งความร้อนจึงต้องใช้อุณหภูมิที่สูงขึ้นในการทำให้เกิดเจลาทีไนซ์อีกครั้ง และใช้พลังงานในการทำให้ข้าวสูกน้อยลง นั่นหมายความว่าเป็นเกิดเจลาทีไนเซ็นทรัฟหรือสูกบางส่วนในระหว่างกระบวนการอบแห้ง

#### 4.3.3 การเลี้ยงเบนรังสีเอกซ์และระดับสภาพเป็นผลึกของเป็นข้าวเหนียวกล้องและแป้งข้าวเหนียวขาว

การเลี้ยงเบนรังสีเอกซ์และระดับสภาพเป็นผลึกของตัวอย่างเป็นข้าวเหนียวกล้องอ้างอิง ข้าวเหนียวขาวอ้างอิง ข้าวเหนียวกล้องและข้าวเหนียวขาวที่ผ่านการอบแห้งที่อุณหภูมิต่างๆ แสดงดังรูปที่ 4.1 และตารางที่ 4.3 ตามลำดับ โครงสร้างผลึกของแป้งข้าวเหนียวเลี้ยงเบนรังสีเอกซ์ที่มุม  $15^\circ$ ,  $17^\circ$ ,  $18^\circ$  และ  $23^\circ$  แสดงถึงโครงสร้างผลึกของแป้งข้าวเหนียวเป็นชนิด A (A-type) (Miao et al., 2010) และมีระดับสภาพเป็นผลึกของข้าวเหนียวขาวและข้าวเหนียวกล้องอ้างอิงระหว่าง  $17.7\%-18.8\%$  เมื่ออุณหภูมิอบแห้งสูงขึ้น โครงสร้างผลึกของแป้งข้าวเหนียวกล้องและข้าวเหนียวขาวที่ผ่านการอบแห้งยังมีโครงสร้างผลึกเป็นชนิด A เมื่อนbsp;โครงสร้างผลึกของข้าวเหนียวอ้างอิงแต่มีระดับสภาพเป็นผลึกลดลง โดยระดับสภาพเป็นผลึกของแป้งข้าวเหนียวทั้งสองมีค่าลดลงจาก  $17.2\%$  เป็น  $15.1\%$  เมื่ออุณหภูมิอบแห้งเพิ่มขึ้นจาก  $90-150\text{ }^\circ\text{C}$  การอบแห้งข้าวเหนียวที่อุณหภูมิสูงกว่า  $130\text{ }^\circ\text{C}$  ทำให้ระดับสภาพเป็นผลึกของแป้งข้าวเหนียวกล้องและข้าวเหนียวขาวมีความแตกต่างจากตัวอย่างเป็นข้าวเหนียวอ้างอิงอย่างมีนัยสำคัญ

การเปลี่ยนแปลงระดับสภาพเป็นผลึกเทียบกับระดับการเกิดเจลาทีไนเซ็นของข้าวเหนียวขาวและข้าวเหนียวกล้อง พนวณ ว่า ระดับสภาพเป็นผลึกในกรณีข้าวเหนียวขาวและข้าวเหนียวกล้องไม่แตกต่างกันแต่ระดับการเกิดเจลาทีไนเซ็นนี้ค่าแตกต่างกันระหว่างข้าวเหนียวขาวและข้าวเหนียวกล้องเนื่องจากเกิดการขัดขวางการหลอมละลายผลึกหรือการพองตัวของแป้งจากอะมิโลเพคตินจับพันธะกับโปรตีนและ/หรือไขมัน



รูปที่ 4.1 การเลือบabenรังสีเอกซ์ของตัวอย่างแป้งข้าวเหนียว; (a) ข้าวเหนียวขาวอ้างอิง; (b) ข้าวเหนียวกล้องอ้างอิง; (c) ข้าวเหนียวขาวที่ผ่านการอบแห้งที่อุณหภูมิ 90 °C; (d) ข้าวเหนียวกล้องที่ผ่านการอบแห้งที่อุณหภูมิ 90 °C; (e) ข้าวเหนียวขาวที่ผ่านการอบแห้งที่อุณหภูมิ 150 °C; (f) ข้าวเหนียวกล้องที่ผ่านการอบแห้งที่อุณหภูมิ 150 °C

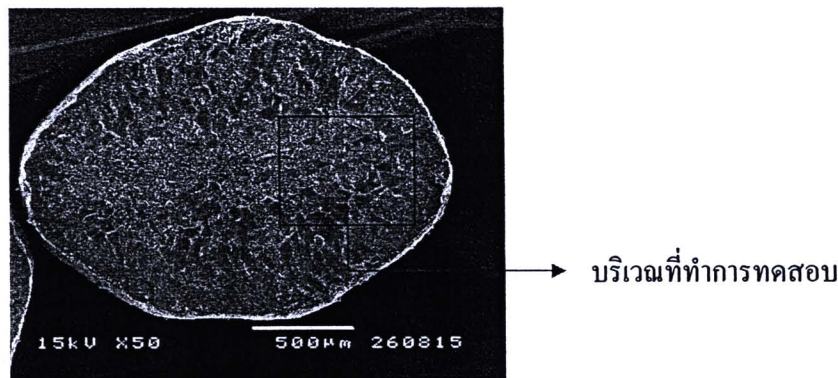
ตารางที่ 4.3 ระดับสภาพเป็นผลึกของแป้งข้าวเหนียวกล้องและแป้งข้าวเหนียวขาวที่เรือนไปต่างๆ

Processing condition	Degree of crystallinity (%)
White waxy rice	
Reference	17.7 ± 0.7 <sup>cd</sup>
90 °C	17.2 ± 0.4 <sup>cd</sup>
130 °C	15.9 ± 0.9 <sup>abcd</sup>
150 °C	15.2 ± 0.6 <sup>ab</sup>
Brown waxy rice	
Reference	18.8 ± 0.5 <sup>d</sup>
90 °C	17.2 ± 0.8 <sup>bcd</sup>
130 °C	16.6 ± 0.9 <sup>abc</sup>
150 °C	15.1 ± 0.4 <sup>a</sup>

Different superscripts in the same column mean that the values are significantly different ( $p < 0.05$ )

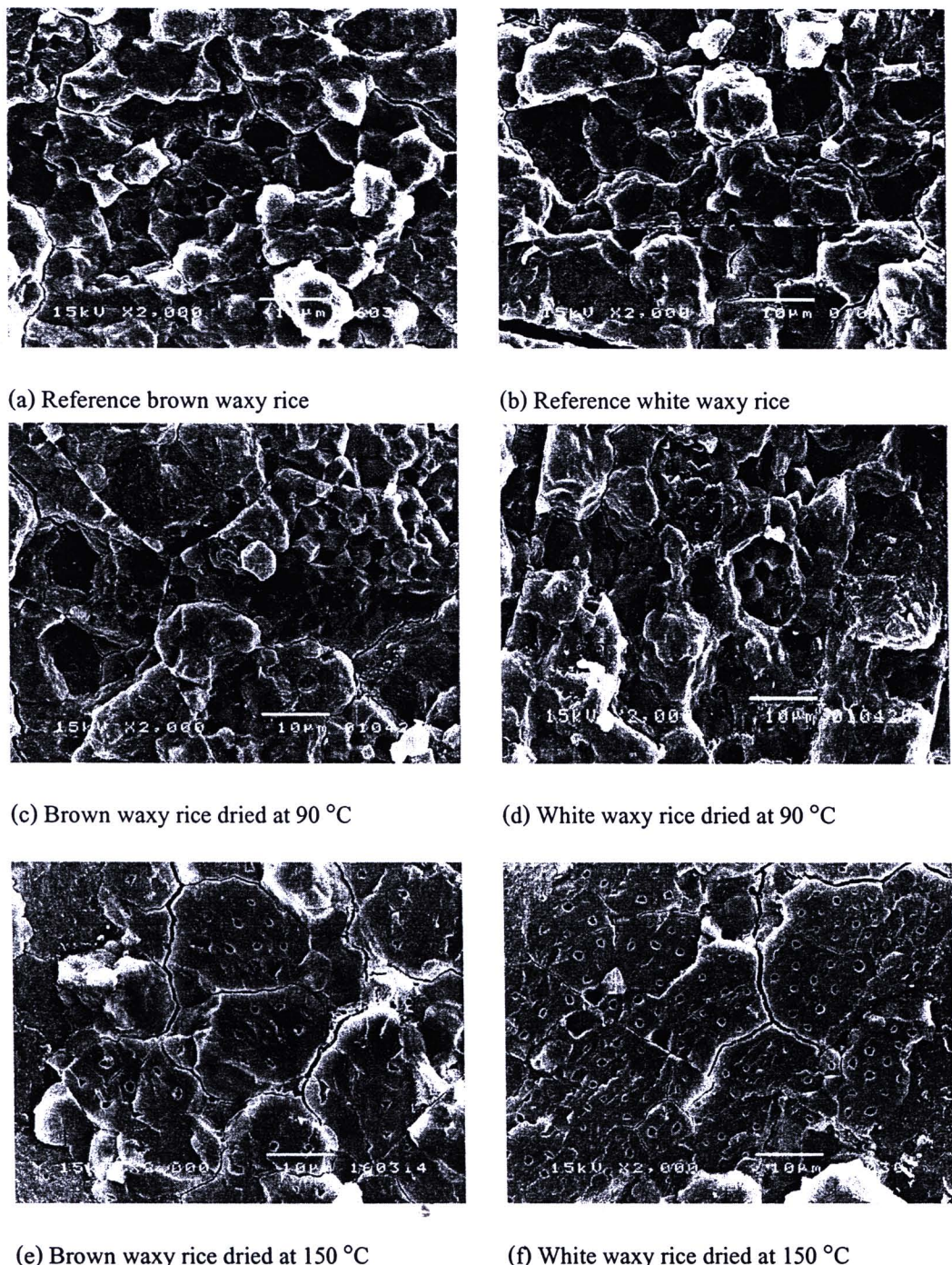
#### 4.3.4 โครงสร้างระดับจุลภาคของเม็ดข้าวเหนียวกล้องแสงและข้าวเหนียวขาว

รูปที่ 4.2 แสดงภาพตัดขวางของเม็ดข้าวเหนียวโดยเครื่อง SEM กำลังขยาย 50 เท่า โดยระบุตำแหน่งที่ทำการทดสอบโครงสร้างระดับจุลภาคของเม็ดข้าวเหนียว



รูปที่ 4.2 ภาพตัดขวางของเม็ดข้าวเหนียว

โครงสร้างระดับจุลภาคของเม็ดข้าวเหนียวกล้องแสงและข้าวเหนียวขาวโดยเครื่อง SEM ส่องบริเวณใกล้ตระกูลของเม็ดข้าวกำลังขยาย 2000 เท่า แสดงดังรูปที่ 4.3a-f โดยรูปที่ 4.3a และ b แสดงโครงสร้างภายในเม็ดข้าวเหนียวกล้องอังอิงและข้าวเหนียวขาวอังอิงตามลำดับ พบว่า โครงสร้างเม็ดแป้งภายในของเม็ดข้าวเหนียวทั้งสองไม่แตกต่างกันโดยมีลักษณะเป็นรูปร่าง 5 เหลี่ยม เกาะรวมตัวกันอยู่เป็นกลุ่มและมีรูพรุนซึ่งมีขนาดเส้นผ่านศูนย์กลาง 0.3-0.6 μm (ขนาดของรูพรุนวัดโดยใช้โปรแกรมสำเร็จรูป Image J (Image J version 1.37c, National Institutes of Health, Bethesda, MD) กระจายอยู่ทั่วไปตลอดพื้นที่หน้าตัดของเม็ด แต่ไม่สามารถระบุจำนวนได้เนื่องจากข้อจำกัดของเครื่อง SEM ที่ไม่สามารถถ่ายภาพให้เห็นโครงสร้างที่มีจำนวนรูพรุนได้ทั้งหมด เมื่อข้าวเหนียวผ่านการอบแห้งที่อุณหภูมิ 90 และ 150 °C (รูปที่ 4.3c-f) เม็ดข้าวเหนียวกล้องและเม็ดข้าวเหนียวขาวเกิดเจลาทีนเซชันบางส่วนทำให้มีคิ่มแป้งหลอมละลายเข้าด้วยกันแต่ยังคงมีบางส่วนมีรูพรุนซึ่งรูพรุนนี้อาจเป็นรูพรุนดึงเดินก่อนการอบแห้งและรูพรุนที่เกิดขึ้นใหม่ในระหว่างกระบวนการอบแห้งโดยกระจายอยู่ทั่วไปตลอดพื้นที่หน้าตัดของเม็ดข้าวเหนียว ในกรณีอุณหภูมิ 90 °C รูพรุนมีขนาดเส้นผ่านศูนย์กลาง 0.3-0.7 μm ส่วนกรณีอุณหภูมิ 150 °C รูพรุนมีขนาดเส้นผ่านศูนย์กลาง 0.06-1.2 μm



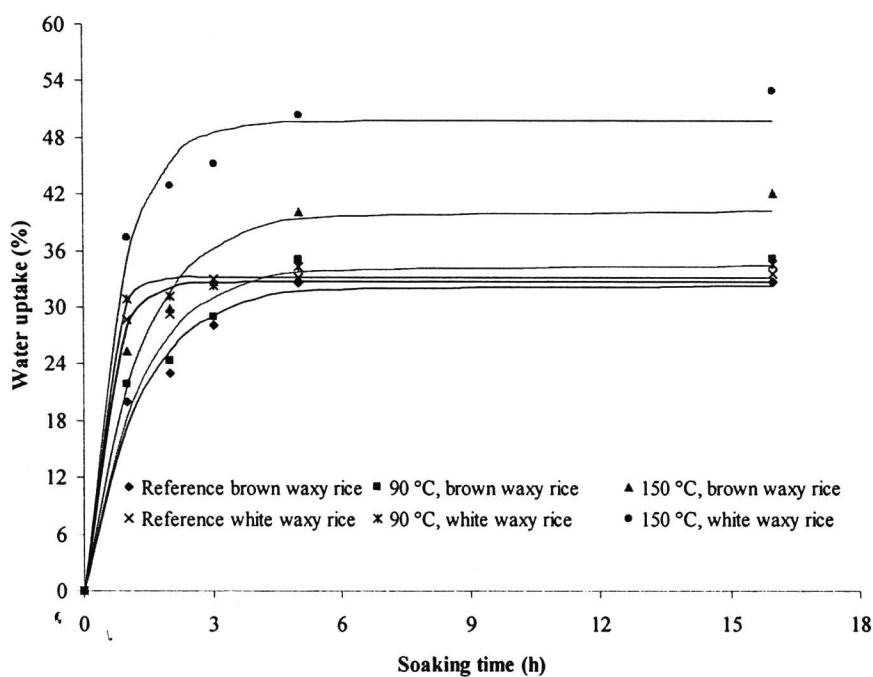
รูปที่ 4.3 โครงสร้างระดับจุลภาคของเม็ดข้าวเหนียวมากล้องและข้าวเหนียวขาวที่เงื่อนไขต่างๆ

ในการผึ่งหภูมิ 150 °C สังเกตได้ว่าขนาดของรูพรุนมีความหลากหลายตั้งแต่มีขนาดเล็กกว่ารูพรุน ดึงเดิมจนถึงขนาดใหญ่กว่ารูพรุน ดึงเดิมทั้งนี้เนื่องจากการเกิดเจลาทีนเซชันที่เพิ่มขึ้นทำให้มีเดิมเป็นแตกตัวมากขึ้นและไอลไปเดิมเดิมรูพรุน ดึงเดิมที่อยู่บริเวณใกล้เคียง ในขณะที่รูพรุนที่มีขนาดใหญ่ กว่ารูพรุน ดึงเดิมเกิดขึ้นเนื่องจากเม็ดแป้งข้าวเหนียวขาวที่แตกตัวแยกออกจากกันมากทำให้เกิดระเบะห่าง

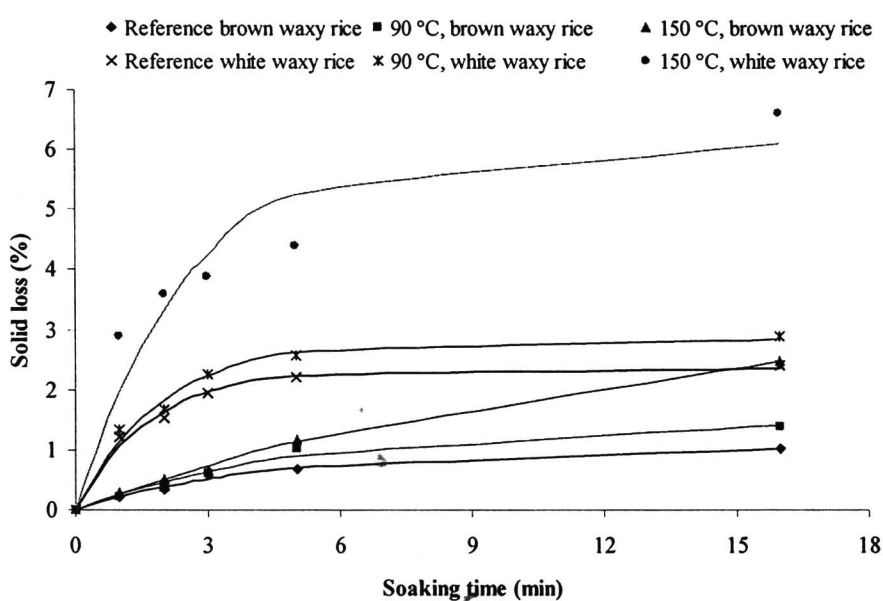
มากขึ้นและข้าวเหนียวมีความหนืดสูงทำให้มีเดปเปิ่งไอลไปเติมเต็มช่องว่างที่เกิดขึ้นนั้น ได้ยากซึ่งแตกต่างจากการเกิดเจลาทีไนเซชันในข้าวที่มีปริมาณอะมิโลสสูงที่พบว่าความหนืดสูงสุดของเม็ดแป้งระหว่างเกิดเจลาทีไนเซชันมีค่าต่ำกว่าความหนืดสูงสุดในกรณีของข้าวเหนียวจึงทำให้มีการไอลไปเติมเต็มช่องว่างที่เกิดขึ้นได้ดีกว่า จากรายงานวิจัยของ Zavareze et al. (2010) พบว่า ความหนืดสูงสุดของข้าวอ้างอิงที่มีปริมาณอะมิโลสต่ำมีค่ามากกว่าข้าวที่มีปริมาณอะมิโลสปานกลางและข้าวที่มีปริมาณอะมิโลสสูงตามลำดับ และมีความแตกต่างอย่างมีนัยสำคัญ ( $p \leq 0.5$ ) ผลการทดลองสองครั้งกับ Hu et al. (2004) พบว่า ข้าวสายพันธุ์อินดิกาได้แก่พันธุ์ Yunuo No.1 (ปริมาณอะมิโลส 1.1%) มีความหนืดสูงสุดกว่าพันธุ์ Zhefu504 (ปริมาณอะมิโลส 13.2%) และ พันธุ์ ZF201 (ปริมาณอะมิโลส 26.8%) ตามลำดับ

#### 4.3.5 ปริมาณการดูดซับน้ำและปริมาณของแป้งที่ละลายในน้ำของเมล็ดข้าวเหนียวกล้อง และเมล็ดข้าวเหนียวขาว

รูปที่ 4.4 แสดงปริมาณการดูดซับน้ำ (Water uptake) และปริมาณของแป้งที่ละลายในน้ำ (Solid loss) ของเมล็ดข้าวเหนียวกล้องและเมล็ดข้าวเหนียวขาวระหว่างการแช่น้ำกลั่นที่ระยะเวลาแช่น้ำ 0-16 h ผลการทดลอง พบว่า ตัวอย่างเมล็ดข้าวเหนียวขาวอ้างอิง เมล็ดข้าวเหนียวกล้องอ้างอิง เมล็ดข้าวเหนียวขาวและเมล็ดข้าวเหนียวกล้องที่ผ่านการอบแห้งที่อุณหภูมิต่างๆ มีปริมาณการดูดซับน้ำเพิ่มขึ้นเมื่อระยะเวลาแช่นานขึ้น ตัวอย่างเมล็ดข้าวเหนียวขาวอ้างอิงและเมล็ดข้าวเหนียวกล้องอ้างอิงมีปริมาณการดูดซับน้ำสูงสุดประมาณ 33% ที่ระยะเวลาแช่น้ำ 3 และ 5 h ตามลำดับ หลังระยะเวลาแช่ดังกล่าว ปริมาณการดูดซับน้ำของตัวอย่างเมล็ดข้าวเหนียวทั้งสองมีค่าคงที่ในสิ่งสุดการทดลอง (16 h) (รูปที่ 4.4a) สำหรับตัวอย่างเมล็ดข้าวเหนียวขาวและข้าวเหนียวกล้องหลังผ่านการอบแห้งที่อุณหภูมิ  $150^{\circ}\text{C}$  มีปริมาณการดูดซับน้ำเพิ่มขึ้นเมื่อระยะเวลาแช่นานขึ้น ส่วนกรณีข้าวเหนียวขาวและข้าวเหนียวกล้องที่ผ่านการอบแห้งที่อุณหภูมิ  $90^{\circ}\text{C}$  มีปริมาณการดูดซับน้ำลดลงคล้ายคลึงกับกรณีข้าวเหนียวขาวและข้าวเหนียวกล้องอ้างอิงที่อุณหภูมิ  $150^{\circ}\text{C}$  เนื่องจากชั้นรำที่มีองค์ประกอบของโปรตีนในปริมาณมากกว่าจัดเรียงตัวเป็นชั้นหนาล้อมรอบเม็ดแป้งเอาไว้ทำให้น้ำแพร่เข้าไปภายในเมล็ดซึ่งข้าวเหนียวขาว



(a) ปริมาณการดูดซับน้ำ



(b) ปริมาณของเยื่อที่ละลายในน้ำ

รูปที่ 4.4 (a) ปริมาณการดูดซับน้ำและ (b) ปริมาณของเยื่อที่ละลายในน้ำของข้าวเหนียวกล้องอ้างอิง และข้าวเหนียวขาวอ้างอิง ข้าวเหนียวกล้องและข้าวเหนียวขาวที่ผ่านการอบแห้งที่อุณหภูมิต่างๆ

เมื่อพิจารณาผลการเปลี่ยนแปลงปริมาณของแข็งที่ละลายในน้ำจากรูปที่ 4.4b พบว่า ปริมาณของแข็งที่ละลายในน้ำของข้าวเหนียวกล้องอ้างอิงและข้าวเหนียวขาวอ้างอิงมีค่าเพิ่มน้ำหนักเฉลี่ยในการแข็งน้ำนานขึ้น ที่เวลาในการแข็งเดียวกันข้าวเหนียวขาวมีปริมาณของแข็งที่ละลายในน้ำมากกว่าข้าวเหนียวกล้อง ที่เวลาในการแข็ง 16 h ปริมาณของแข็งที่ละลายในน้ำของข้าวเหนียวกล้องมีค่า 1.0% สำหรับข้าวเหนียวขาวมีปริมาณของแข็งที่ละลายในน้ำ 2.4% สำหรับข้าวเหนียวกล้องและข้าวเหนียวขาวที่ผ่านการอบแห้งที่เงื่อนไขต่างๆ มีปริมาณของแข็งที่ละลายในน้ำเพิ่มน้ำหนักเฉลี่ยในการแข็งน้ำหนักเฉลี่ยน้ำหนักโดยตัวอย่างเมล็ดข้าวเหนียวขาวและข้าวเหนียวกล้องที่ผ่านการอบแห้งที่อุณหภูมิสูงกว่า มีปริมาณของแข็งที่ละลายในน้ำมากกว่าตัวอย่างเมล็ดข้าวเหนียวขาวและข้าวเหนียวกล้องที่ผ่านการอบแห้งที่อุณหภูมิต่ำกว่า

จากการทดลองแข็งข้าวเหนียวขาวอ้างอิงและข้าวเหนียวกล้องอ้างอิงเป็นเวลา 16 h (ซึ่งเป็นวิธีที่ปฏิบัติกัน) พบว่า ปริมาณการดูดซับน้ำสูงสุดของเมล็ดข้าวเหนียวมีค่าประมาณ 33% และเป็นปริมาณความชื้นที่ทำให้ข้าวเหนียวสุก ดังนั้น จึงใช้ความชื้นนี้เป็นเกณฑ์สำหรับการแข็งข้าวเหนียวโดย พบว่า ข้าวเหนียวกล้องหลังผ่านการอบแห้งที่อุณหภูมิ 90, 130 และ 150 °C ระยะเวลาสำหรับการแข็งคือ 5, 3 และ 3 h ตามลำดับ ส่วนระยะเวลาการแข็งข้าวเหนียวขาวหลังผ่านการอบแห้งที่อุณหภูมิ 90, 130 และ 150 °C คือ 3, 1 และ 1 h ตามลำดับ ดังนั้นจึงนำข้าวเหนียวกล้องและข้าวเหนียวขาวที่แข็งน้ำ ตามระยะเวลาที่เหมาะสมเหล่านี้ไปทดสอบสมบัติด้านเนื้อสัมผัสในหัวข้อถัดไป

ที่ปริมาณการดูดซับน้ำของตัวอย่างข้าวเหนียวกล้องและตัวอย่างข้าวเหนียวขาวเดียวกัน (ประมาณ 33%) พบว่า ปริมาณของแข็งที่ละลายในน้ำของตัวอย่างข้าวเหนียวกล้องและตัวอย่างข้าวเหนียวขาวที่ผ่านการอบแห้งมีค่าสูงกว่าปริมาณของแข็งที่ละลายในน้ำของข้าวเหนียวกล้องอ้างอิงและข้าวเหนียวขาวอ้างอิง เมื่ออบแห้งที่อุณหภูมิสูงขึ้น ปริมาณของแข็งที่ละลายในน้ำของตัวอย่างข้าวเหนียวกล้องและข้าวเหนียวขาวมีค่าเพิ่มน้ำหนักเฉลี่ย โดยข้าวเหนียวกล้องที่ผ่านการอบแห้งที่อุณหภูมิ 90 และ 150 °C ปริมาณของแข็งที่ละลายในน้ำมีค่าเพิ่มน้ำหนักเฉลี่ย 5 และ 14% ตามลำดับ สำหรับข้าวเหนียวขาว พบว่า ปริมาณของแข็งที่ละลายในน้ำของข้าวเหนียวขาวที่ผ่านการอบแห้งที่อุณหภูมิ 90 และ 150 °C มีค่าเพิ่มน้ำหนักเฉลี่ย 15 และ 42% เมื่อเทียบกับข้าวเหนียวขาวอ้างอิง ตามลำดับ (ครูรูปที่ 4.4b)

#### 4.3.6 สมบัติด้านเนื้อสัมผสของข้าวเหนียวกล้องสุกและข้าวเหนียวขาวสุก

ตารางที่ 4.4 แสดงสมบัติด้านเนื้อสัมผส เช่น ความแข็ง และความเหนียวของข้าวเหนียวกล้องสุกและข้าวเหนียวขาวสุกที่เงื่อนไขต่างๆ โดยเลือกที่ระยะเวลาการแข็งดังที่กล่าวไว้ในหัวข้อ 4.3.5 สำหรับแต่ละเงื่อนไขของการอบแห้งนำมาเปรียบเทียบกัน ผลการทดลองพบว่า ความแข็งของข้าวเหนียวกล้อง



สุกมีค่ามากกว่าความแข็งของข้าวเหนียวขาวสุก ในขณะที่ความเหนียวของตัวอย่างทั้งสองมีค่าไม่แตกต่างกันอย่างมีนัยสำคัญเนื่องจากปริมาณของแข็งที่ละลายในน้ำมีค่าไม่แตกต่างกัน (ดังรูปที่ 4.3b)

หลังจากอบแห้งที่อุณหภูมิต่างๆ พบร่วมกับความแข็งของตัวอย่างข้าวเหนียวทั้งสองมีค่าลดลงเมื่ออุณหภูมิอบแห้งเพิ่มสูงขึ้น โดยความแข็งของตัวอย่างข้าวเหนียวกล้องสุกเมื่อผ่านการอบแห้งที่อุณหภูมิ 150 °C มีค่าลดลง 16% เมื่อเทียบกับตัวอย่างข้าวเหนียวกล้องอ้างอิง ในขณะที่ความแข็งของข้าวเหนียวขาวสุกเมื่อผ่านการอบแห้งที่อุณหภูมิ 150 °C มีค่าลดลง 42% จากความแข็งของข้าวเหนียวขาวสุกอ้างอิง

ตารางที่ 4.4 สมบัติค้านเนื้อสัมผัสของข้าวเหนียวกล้องและข้าวเหนียวขาวสุกที่เงื่อนไขต่างๆ

Processing condition	Cooking time (min)	Hardness (N)	Stickiness (N)
<b>White waxy rice</b>			
Reference, ST = 3 h		52.1 ± 4.2 <sup>c</sup>	0.9 ± 0.6 <sup>a</sup>
90 °C, ST = 3 h	30	50.6 ± 6.3 <sup>c</sup>	1.0 ± 0.1 <sup>a</sup>
130 °C, ST = 1 h		39.3 ± 5.3 <sup>d</sup>	2.1 ± 0.1 <sup>b</sup>
150 °C, ST = 1 h		34.1 ± 6.8 <sup>d</sup>	2.1 ± 0.1 <sup>b</sup>
<b>Brown waxy rice</b>			
Reference, ST = 5 h		131.4 ± 1.7 <sup>a</sup>	1.2 ± 0.5 <sup>a</sup>
90 °C, ST = 5 h	80	125.8 ± 2.4 <sup>a</sup>	2.1 ± 0.3 <sup>b</sup>
130 °C, ST = 3 h		121.7 ± 4.2 <sup>b</sup>	2.1 ± 0.4 <sup>b</sup>
150 °C, ST = 3 h		111.8 ± 6.7 <sup>b</sup>	2.3 ± 0.2 <sup>b</sup>

ST = Soaking time (h)

Different superscripts in the same column mean that the values are significantly different ( $p < 0.05$ )

สำหรับกรณีความเหนียวของข้าวเหนียวสุก พบร่วมกับข้าวเหนียวกล้องสุกที่ผ่านการอบแห้งมีความเหนียวเพิ่มขึ้นอย่างมีนัยสำคัญเมื่อเทียบกับข้าวเหนียวกล้องอ้างอิง ในการผิบของข้าวเหนียวขาวสุกที่ผ่านการอบแห้งก็เป็นไปในทำนองเดียวกัน เมื่ออุณหภูมิอบแห้งสูงขึ้น ความเหนียวของตัวอย่างข้าวเหนียวที่ผ่านการอบแห้งทั้งสองมีค่าเพิ่มขึ้น สำหรับเหตุผลของความแข็งที่มีค่าลดลงแต่ความเหนียวมีค่าเพิ่มขึ้นเมื่อผ่านกระบวนการการอบแห้งแล้วเนื่องจากการอบแห้งที่อุณหภูมิสูงทำให้โครงสร้างภายในเมล็ดข้าวเหนียวทั้งสองเกิดรูพรุนมากขึ้น ทำให้เกิดการสูญเสียปริมาณของแข็งที่ละลายในน้ำของข้าว

เห็นยิ่งข้าวและข้าวเห็นยิ่งกล้องเพิ่มขึ้นเมื่ออุณหภูมิอบแห้งสูงขึ้น ส่งผลให้มีอ่อนนำไปผ่านการหุงต้มตัวอย่างเมล็ดข้าวเห็นยิ่งที่ผ่านการอบแห้งจึงมีความนุ่มนวลมากขึ้น

#### 4.3.7 สมบัติค้านความหนืดของแป้งข้าวเห็นยิ่งกล้องและแป้งข้าวเห็นยิ่งข้าว

สมบัติค้านความหนืดของแป้งข้าวเห็นยิ่งกล้องและแป้งข้าวเห็นยิ่งข้าวได้แก่ ความหนืดสูงสุด (Peak viscosity) ความหนืดสุดท้าย (Final viscosity), Setback (Final viscosity - Peak viscosity) และ อุณหภูมิเริ่มต้นของการหนืดของแป้ง (Pasting temperature) แสดงดังตารางที่ 4.5

ตารางที่ 4.5 สมบัติค้านความหนืดของแป้งข้าวเห็นยิ่งกล้องและแป้งข้าวเห็นยิ่งข้าวที่เงื่อนไขต่างๆ

Processing condition	Peak viscosity	Final viscosity	Setback	Pasting temperature
	(RVU)	(RVU)	(RVU)	(°C)
<b>White waxy rice</b>				
Reference	248.0 ± 0.3 <sup>h</sup>	131.4 ± 0.5 <sup>d</sup>	-116.6 ± 0.6 <sup>g</sup>	65.2 ± 0.5 <sup>a</sup>
90 °C	245.7 ± 1.0 <sup>h</sup>	142.9 ± 1.2 <sup>g</sup>	-102.8 ± 2.0 <sup>f</sup>	65.3 ± 0.4 <sup>a</sup>
110 °C	241.2 ± 1.2 <sup>g</sup>	140.2 ± 1.3 <sup>f</sup>	-101.0 ± 2.5 <sup>f</sup>	66.6 ± 0.4 <sup>b</sup>
130 °C	233.0 ± 2.8 <sup>f</sup>	135.6 ± 1.6 <sup>e</sup>	-97.4 ± 1.5 <sup>e</sup>	67.5 ± 0.4 <sup>c</sup>
150 °C	225.0 ± 0.2 <sup>e</sup>	136.1 ± 0.7 <sup>e</sup>	-88.9 ± 0.9 <sup>d</sup>	68.9 ± 0.3 <sup>d</sup>
<b>Brown waxy rice</b>				
Reference	196.0 ± 2.5 <sup>d</sup>	127.6 ± 1.3 <sup>c</sup>	-68.4 ± 1.7 <sup>c</sup>	71.7 ± 0.4 <sup>h</sup>
90 °C	183.0 ± 4.3 <sup>c</sup>	122.3 ± 2.2 <sup>b</sup>	-60.6 ± 2.4 <sup>b</sup>	70.4 ± 0.1 <sup>ef</sup>
110 °C	178.4 ± 2.0 <sup>b</sup>	118.4 ± 1.3 <sup>a</sup>	-60.0 ± 2.0 <sup>b</sup>	70.9 ± 0.4 <sup>fg</sup>
130 °C	173.8 ± 1.8 <sup>a</sup>	116.2 ± 1.0 <sup>a</sup>	-57.6 ± 0.9 <sup>b</sup>	71.2 ± 0.1 <sup>gh</sup>
150 °C	171.0 ± 2.2 <sup>a</sup>	118.6 ± 1.3 <sup>a</sup>	-52.4 ± 1.8 <sup>a</sup>	70.1 ± 0.5 <sup>e</sup>

Different superscripts in the same column mean that the values are significantly different ( $p<0.05$ )

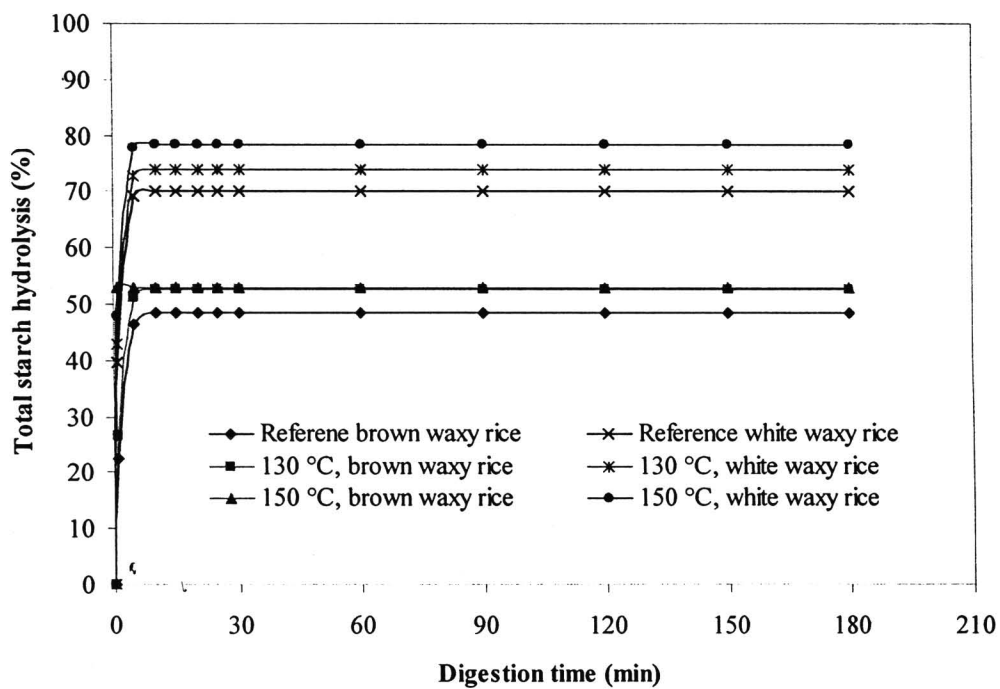
ผลการทดลอง พบว่า ความหนืดสูงสุดของแป้งข้าวเห็นยิ่งกล้องมีค่าต่ำกว่าความหนืดสูงสุดของแป้งข้าวเห็นยิ่งข้าวเนื่องจากองค์ประกอบของข้าวรำในข้าวเห็นยิ่งกล้องขัดขวางการพองตัวของเม็ดแป้ง ค่า Setback ของข้าวเห็นยิ่งกล้องต่ำกว่าข้าวเห็นยิ่งข้าวบ่อบอกถึงความแน่นแข็ง (Firmness) ในข้าวเห็นยิ่งกล้องมากกว่าข้าวเห็นยิ่งข้าว อุณหภูมิเริ่มต้นของความหนืดของแป้ง (Pasting temperature) ปั่ง

นอกจากนี้เวลาในการหุงต้มถ้ามีค่าสูงแสดงว่ามีการหุงต้มนานขึ้นจากตารางที่ 4.5 ตัวอย่างข้าวเหนียวกล้องใช้เวลาในการหุงต้มนานกว่าข้าวเหนียวขาว

หลังจากข้าวเหนียวผ่านการอบแห้งที่อุณหภูมิต่างๆ พบร่วมกับความหนืดสูงสุดของทั้งข้าวเหนียวกล้องและข้าวเหนียวขาวมีค่าลดลง โดยเมื่ออบแห้งที่อุณหภูมิ  $150^{\circ}\text{C}$  ความหนืดสูงสุดของตัวอย่างข้าวเหนียวกล้องและข้าวเหนียวขาวอ้างอิง 14% และ 10% ตามลำดับ สำหรับค่า Setback มีค่าลดลงประมาณ 26% ของทั้งตัวอย่างข้าวเหนียวกล้องและข้าวเหนียวขาว ผลการทดลองสอดคล้องกับผลของ DSC แสดงว่าระดับการเกิดเจลาทีไนเซชันสูงขึ้น ทำให้ค่าความหนืดสูงสุดและ Setback ของข้าวเหนียวลดลง

#### 4.3.8 สมบัติด้านการย่อยและคุณค่าของข้าวเหนียวกล้องสุกและข้าวเหนียวขาวสุก

รูปที่ 4.5 แสดงอัตราการย่อยและคุณค่าของตัวอย่างข้าวเหนียวกล้องและข้าวเหนียวขาวที่เวลาการย่อยตั้งแต่ 0-180 min พบร่วมกับความชันของกราฟมีค่าเพิ่มขึ้นจนถึงค่าสูงสุดที่เวลาของการย่อย 30 min หลังจากนั้นกราฟมีค่าคงที่จนถึงเวลาสิ้นสุด (180 min) เส้นกราฟของตัวอย่างข้าวเหนียวขาวมีค่าสูงกว่าตัวอย่างข้าวเหนียวกล้องทุกเงื่อนไขของกระบวนการอบแห้งนั้นคือ ณ เวลาเดียวกันข้าวเหนียวขาวมีอัตราการย่อยมากกว่าข้าวเหนียวกล้อง หลังจากข้าวเหนียวผ่านการอบแห้งที่อุณหภูมิสูงขึ้น อัตราการย่อยของตัวอย่างข้าวเหนียวขาวและตัวอย่างข้าวเหนียวกล้องมีค่าสูงขึ้นเมื่อเทียบกับตัวอย่างข้าวเหนียวอ้างอิงและมีค่าเพิ่มขึ้นเมื่ออุณหภูมิอบแห้งสูงขึ้น ตารางที่ 4.6 แสดงค่าดัชนีไกลซีมิก (Glycemic Index: GI) ของตัวอย่างข้าวเหนียวขาวอ้างอิง ข้าวเหนียวกล้องอ้างอิง ข้าวเหนียวขาวและข้าวเหนียวกล้องที่ผ่านกระบวนการอบแห้งที่อุณหภูมิต่างๆ พบร่วมกับอัตราการย่อยและคุณค่าของตัวอย่างข้าวเหนียวขาวอ้างอิง มีอัตราการย่อยและคุณค่าต่ำที่สุดและมีค่าดัชนีไกลซีมิก 87.4 ในขณะที่ตัวอย่างข้าวเหนียวขาวอ้างอิงมีอัตราการย่อยและคุณค่าสูงกว่าและมีค่าดัชนีไกลซีมิกคือ 108.6 ข้าวเหนียวกล้องอ้างอิงมีขั้นร้าขัดขวางกระบวนการย่อยและคุณค่าต่ำกว่าข้าวเหนียวขาวอ้างอิง



รูปที่ 4.5 อัตราการย่อยและคุณค่าน้ำตาลของข้าวเหนียวกล้องสุกและข้าวเหนียวขาวสุกที่เจือนไนต่างๆ

อย่างไรก็ตามเมื่อข้าวเหนียวผ่านการอบแห้งที่อุณหภูมิสูงขึ้นอัตราการย่อยและคุณค่าน้ำตาลเพิ่มสูงขึ้น ทั้งข้าวเหนียวกล้องสุกและข้าวเหนียวขาวสุก ส่งผลให้ค่า GI เพิ่มสูงขึ้นตามไปด้วยโดยค่า GI ของตัวอย่างข้าวเหนียวกล้องสุกที่ผ่านการอบแห้งอุณหภูมิ 130 และ 150 °C มีค่า 91.5 และมีค่าสูงกว่าค่า GI ของข้าวเหนียวกล้องสุกอ้างอิง 4% สำหรับค่า GI ของตัวอย่างข้าวเหนียวขาวที่ผ่านการอบแห้งที่อุณหภูมิ 130 °C มีความแตกต่างจากข้าวเหนียวขาวสุกอ้างอิง 8% การเพิ่มขึ้นของค่า GI เกิดจากการแตกตัวของโครงสร้างผลึกกระหว่างการเกิดเชลาร์ที่ในเชิงนี้ของการอบแห้งที่อุณหภูมิสูงทำให้เอนไซม์สามารถเข้าไปย่อยแป้งได้ง่ายขึ้น

ตารางที่ 4.6 ค่าดัชนีไกลซึมิกของข้าวเหนียวกล้องสุกและข้าวเหนียวขาวสุกที่เจือนไขต่างๆ

Processing condition	$C_{\infty}$ (%)	$k$ (min <sup>-1</sup> )	HI	GI	R <sup>2</sup> (%)
<b>White waxy rice</b>					
Reference	70.2 ± 1.6 <sup>c</sup>	0.83 ± 0.01 <sup>b</sup>	125.5 ± 2.8 <sup>a</sup>	108.6 ± 1.6 <sup>a</sup>	0.99
90 °C	71.8 ± 1.4 <sup>c</sup>	0.83 ± 0.00 <sup>b</sup>	127.5 ± 1.4 <sup>ab</sup>	109.7 ± 0.8 <sup>ab</sup>	0.99
130 °C	73.8 ± 1.0 <sup>d</sup>	0.92 ± 0.01 <sup>bc</sup>	132.1 ± 1.8 <sup>b</sup>	112.2 ± 1.0 <sup>b</sup>	0.99
150 °C	78.4 ± 0.1 <sup>e</sup>	0.95 ± 0.00 <sup>c</sup>	140.3 ± 0.2 <sup>c</sup>	116.7 ± 0.1 <sup>c</sup>	0.99
<b>Brown waxy rice</b>					
Reference	48.6 ± 0.7 <sup>a</sup>	0.73 ± 0.12 <sup>a</sup>	86.9 ± 1.3 <sup>c</sup>	87.4 ± 0.7 <sup>c</sup>	0.99
90 °C	50.0 ± 0.9 <sup>a</sup>	0.71 ± 0.07 <sup>a</sup>	89.4 ± 1.5 <sup>c</sup>	88.8 ± 0.8 <sup>c</sup>	0.99
130 °C	52.8 ± 1.8 <sup>b</sup>	0.73 ± 0.04 <sup>a</sup>	94.4 ± 3.3 <sup>c</sup>	91.5 ± 1.8 <sup>c</sup>	0.99
150 °C	52.8 ± 0.1 <sup>b</sup>	0.70 ± 0.03 <sup>a</sup>	94.3 ± 0.1 <sup>c</sup>	91.5 ± 0.1 <sup>c</sup>	0.99

Different superscripts in the same column mean that the values are significantly different ( $p<0.05$ )

#### 4.3.9 การทดสอบด้านประสิทธิภาพสัมผัสของข้าวเหนียวกล้องสุกและข้าวเหนียวขาวสุก

ตารางที่ 4.7 แสดงผลการทดสอบด้านประสิทธิภาพสัมผัสของข้าวเหนียวขาวสุกโดยให้ผู้ทดสอบชิมข้าวเหนียวในขณะที่ข้าวเหนียวยังอุ่นในเทอมของ ความขาว การเกาะตัว รสชาติ ความนุ่มนุ่ม ความเหนียว และการยอมรับโดยรวม พบว่าความขาว การเกาะตัวกันระหว่างเม็ดข้าวเหนียว รสชาติ และความเหนียวของตัวอย่างข้าวเหนียวขาวที่ผ่านการอบแห้งไม่มีความแตกต่างอย่างมีนัยสำคัญเมื่อเทียบกับลักษณะเนื้อสัมผัสของตัวอย่างข้าวเหนียวขาวอ้างอิง ยกเว้นในกรณีความนุ่มนุ่ม พบว่าข้าวเหนียวขาวสุกที่ผ่านการอบแห้งอุณหภูมิ 150 °C มีความนุ่มนุ่มมากกว่าข้าวเหนียวขาวสุกอ้างอิง ในขณะที่ความนุ่มนุ่มของข้าวเหนียวขาวสุกที่ได้จากการอบแห้งที่อุณหภูมิ 130 °C ไม่มีความแตกต่างอย่างมีนัยสำคัญกับความนุ่มนุ่มของตัวอย่างข้าวเหนียวขาวสุกอ้างอิง เนื่องจากระดับการเกิดเจลาทินไซเซชันที่เพิ่มขึ้นทำให้ระดับสภาพเป็นผลลัพธ์ภายในเม็ดข้าวเหนียวมีค่าลดลง (ตารางที่ 4.2) จึงส่งผลให้ข้าวเหนียวสุกในกรณีนี้มีความนุ่มนุ่มเพิ่มขึ้นสอดคล้องกับการวัดสมบัติด้านเนื้อสัมผัสของข้าวเหนียวขาวสุก พบว่าเมื่ออุณหภูมิอบแห้งสูงขึ้นทำให้ความแข็งของข้าวเหนียวขาวสุกมีค่าลดลง (ตารางที่ 4.4) สำหรับระดับคะแนนความนุ่มนุ่มของตัวอย่างข้าวเหนียวขาวที่ผ่านการอบแห้งมีค่าระหว่าง 6.6-7.3 บ่งบอกว่าผู้ทดสอบมีความชอบเล็กน้อยถึงปานกลางต่อตัวอย่างข้าวเหนียวขาวสุกดังกล่าว อย่างไรก็ตามผลการยอมรับโดยรวม

ของข้าวเหนียวขาวสุกที่ได้จากการอบแห้งไม่มีความแตกต่างอย่างมีนัยสำคัญกับข้าวเหนียวขาวสุกอ้างอิงซึ่งมีค่าประมาณ 6.7 และคงถึงผู้ทดสอบชอบเล็กน้อยถึงปานกลางต่อตัวอย่างข้าวเหนียวขาวสุกทั้งหมด

ตารางที่ 4.7 การทดสอบค้านประสิทธิภาพสัมผัสของข้าวเหนียวขาวสุกที่เงื่อนไขต่างๆ

Processing condition	Whiteness	Cohesiveness	Taste	Tenderness	Stickiness	Overall acceptability
<b>Reference</b>						
<b>white waxy</b>						
rice	8.1 ± 0.4 <sup>a</sup>	7.1 ± 1.3 <sup>a</sup>	7.3 ± 0.7 <sup>a</sup>	5.7 ± 1.5 <sup>a</sup>	6.8 ± 0.9 <sup>a</sup>	6.7 ± 1.3 <sup>a</sup>
130 °C	7.8 ± 0.6 <sup>a</sup>	6.8 ± 1.4 <sup>a</sup>	7.1 ± 1.0 <sup>a</sup>	6.6 ± 1.4 <sup>ab</sup>	6.7 ± 1.8 <sup>a</sup>	6.8 ± 1.7 <sup>a</sup>
150 °C	7.8 ± 0.7 <sup>a</sup>	7.0 ± 1.0 <sup>a</sup>	7.1 ± 1.1 <sup>a</sup>	7.3 ± 1.7 <sup>b</sup>	6.8 ± 0.9 <sup>a</sup>	6.7 ± 1.1 <sup>a</sup>

Different superscripts in the same column mean that the values are significantly different ( $p<0.05$ )

ตารางที่ 4.8 การทดสอบค้านประสิทธิภาพสัมผัสของข้าวเหนียวกล้องสุกที่เงื่อนไขต่างๆ

Processing condition	Whiteness	Cohesiveness	Taste	Tenderness	Stickiness	Overall acceptability
<b>Reference</b>						
<b>brown waxy</b>						
rice	7.5 ± 1.1 <sup>a</sup>	4.1 ± 1.7 <sup>a</sup>	6.7 ± 1.0 <sup>a</sup>	4.5 ± 1.7 <sup>a</sup>	4.3 ± 1.9 <sup>a</sup>	4.6 ± 1.6 <sup>a</sup>
130 °C	7.2 ± 1.0 <sup>a</sup>	5.9 ± 1.3 <sup>b</sup>	6.9 ± 0.8 <sup>a</sup>	6.0 ± 1.4 <sup>b</sup>	5.8 ± 1.4 <sup>b</sup>	6.1 ± 1.0 <sup>b</sup>
150 °C	7.3 ± 1.0 <sup>a</sup>	6.4 ± 1.7 <sup>b</sup>	6.7 ± 1.7 <sup>a</sup>	6.5 ± 1.9 <sup>b</sup>	6.1 ± 1.5 <sup>b</sup>	6.1 ± 1.7 <sup>b</sup>

Different superscripts in the same column mean that the values are significantly different ( $p<0.05$ )

สำหรับการทดสอบค้านประสิทธิภาพสัมผัสของข้าวเหนียวกล้องสุก แสดงดังตารางที่ 4.8 พบว่าอุณหภูมิอบแห้งมีผลต่อความชอบของผู้ทดสอบที่มีต่อตัวอย่างข้าวเหนียวกล้องสุกในค้านความเกาะตัวกันของเม็ด ความนุ่ม ความเหนียว และความชอบโดยรวม ในขณะที่ความขาวและรสชาติของข้าวเหนียวกล้องไม่แตกต่างกับข้าวเหนียวกล้องสุกอ้างอิง ผู้ทดสอบให้ระดับคะแนนความชอบต่อข้าวเหนียวกล้องสุกที่ผ่านการอบแห้งในค้านความเกาะตัว ความนุ่ม ความเหนียวและความชอบโดยรวมอยู่ในช่วง 5.8-6.5 บ่งบอกว่าผู้ทดสอบมีความชอบต่อตัวอย่างข้าวเหนียวกล้องสุกที่ผ่านการอบแห้ง

เล็กน้อย สำหรับตัวอย่างข้าวเหนียวกล้องสุกอ้างอิงผู้ทดสอบให้คะแนนความชอบเท่ากับ 4 หมายถึงผู้ทดสอบไม่ชอบเล็กน้อย เมื่อเปรียบเทียบผลการทดสอบด้านเนื้อสัมผัสของตัวอย่างข้าวเหนียวกล้องสุกพบว่าข้าวเหนียวกล้องที่ผ่านการอบแห้งแล้วมีความแข็งคล่อง (หรือมีความนุ่มนิ่น) ผลการทดสอบนี้มีความสอดคล้องกับประชาทสัมผัสของผู้ทดสอบที่ชอบข้าวเหนียวที่ผ่านการอบแห้งมากกว่าข้าวเหนียวกล้องอ้างอิง เนื่องจากความนุ่มนิ่นของตัวอย่างข้าวเหนียวกล้องนั้นเอง